# 動揺中の実測データを用いた電力系統等価回路の推定

 日大生産工(院)
 〇及川
 昭

 日大生産工(院)
 木内
 徹

 日大生産工
 佐藤
 正弘

#### 1.まえがき

電力系統とは、発電所で発生させた電力 を送電線、変電所を介して需要家へと送る 巨大なシステムである。これと同様に製鉄 所の構内などにおいては発電機および電動 機等の負荷が存在し、自家電力系統を構成 している(1)。また、自家電力系統は自家発 電のみならず、商用系統に連結され受電も 行っているため、系統のじょう乱は互いに 影響を及ぼす。よって、自家電力系統の安 定度を判定する際には商用系統を考慮した 上で行わなくてはならない。安定度の判定 は、自家電力系統および商用系統を模擬し、 潮流計算によって安定度判定を行うが、そ の際に自家電力系統は既知で正確に模擬で きるが、商用系統は正確には模擬できない。 この商用系統の等価回路を正確に把握でき たならば、より正確な安定度解析が行える。 そこで本論ではこのような場合に用いる自 家電力系統から見た商用系統の等価回路を 推定する手法について検討を行った。

## 2.脱調現象と等面積法

電力系統には多数の発電機が存在し、それぞれが互いに同期を取りながら、同じ回転速度で運転している。しかし、落雷等の系統事故により、系統に大きなじょう乱が

発生した場合、発電機間の同期化力が失われ、位相差が拡大し、その大きさが 180 度以上となることがある。このような現象を脱調と呼ぶ。発電機が脱調に至るまでの経緯を理解するのに有効な手段として等面積法がある。図 1 に示す一機無限大母線系統の A 点において三相地絡事故が発生した場合を例に等面積法 (2) を説明する。図 2 に示すのが電力相差角曲線 (3) であり、次式で与えられる.

$$P = \frac{VE}{X'_d + X} \sin \delta \dots (1)$$

定常時において発電機の運転点は2回線分の電力相差角線上の点 にあるが事故発生時には零に落ち、加速トルクによって発電機の回転子が加速され位相角が 1まで拡大する。その時に故障回線が開放されると、運転点は一回線分の電力相差角線上点に移行する。点 では減速トルクが働き、安定点に戻ろうとするがSaの面積に相当する加速エネルギーを得ているために位相差は拡大する。このとき安定度限界点を超えなければ安定となり、そうでなければ、

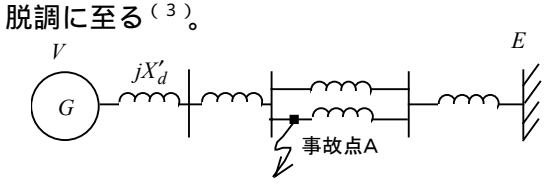
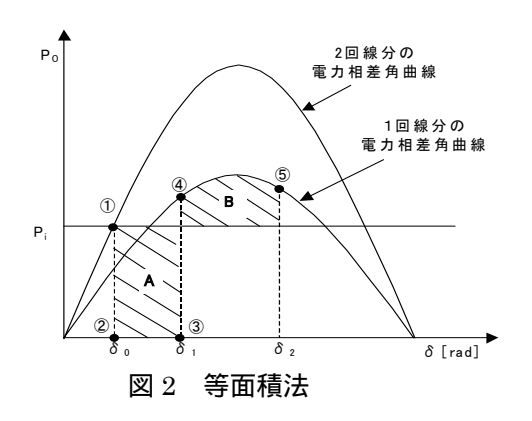


図1 2回線送電系統

Estimation of power system equivalent circuit using the survey data in power swing Akira OIKAWA.Toru KIUCHI and Masahiro SATO



## 3.推定法の原理

提案する等価回路の推定法の原理につい て説明する。まず、本手法では脱調に至っ た発電機の過渡状態のデータを用いて推定 を行う。その理由としては前節で述べたよ うに発電機の運転点は電力相差角曲線上を 移動するため発電機間の位相差が 90 度の 時点で電力が最大値を示す。この関係を用 いることにより、後に与えられる式が簡単 化できるためである。次に図3に示す一機 無限大母線系統を用いて等価回路の推定に 必要な関係式の導出を行う。図中に示す 2 番ノードが発電機端子であり、それより右 が系統側、左側が発電機内部である。実際 にデータを測定できるのは発電機端子であ り、発電機内部電圧V。 は発電機が過渡 状態でX<sub>d</sub>′が既知であるときのみ算出で きる。これらの値を用いると回路について 以下の方程式が成り立つ。

この連立方程式を解くことにより、未知数 E、、Xを求める関係式が以下のように導

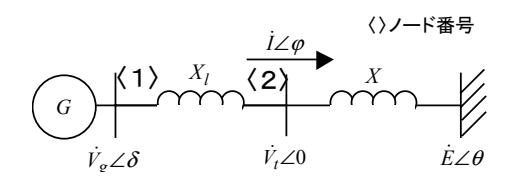


図3 一機無限大母線系統

かれる。この関係式を用いることにより無限大母線の等価回路を推定できる。

$$E = \frac{X_l + X}{V_g} P_m \qquad (5)$$

$$\theta = \cos^{-1} \left( \frac{X_l P_m}{V_t V_g} \right) \cdots (6)$$

$$X = \frac{-X_l^2 P_m \sin \theta}{X_l P_m \sin \theta + V_g^2 \cos \theta} \cdots (7)$$

## 4.シミュレーションによる確認

#### 4.1一機無限大母線系統による確認

本推定法の有効性を確認するために図4に示す系統モデルを用いて等価回路の推定を行う。図4に示したモデルは1番ノードが発電機端子であり,それより右が無限 $X_1$ =0.15, $X_2$ =0.378, $X_3$ =0.05として、潮流計算を行い、A点において3相地絡事ションを行った。それより得られた列出を行った。まず、シミュレーションを行った。まず、シミュレーションで開いた発電機間の位相差特性およいで引力特性を図5,図6に示す。図5の位相差が180度に達力が事故後、大きく弧を描きながら変化した、3位に表します。図6の発電機出力特性においても発電機出力が事故後、大きく弧を描きながら変化

ている。0.35 秒周辺で最大値を示している ため、この点付近で発電機間位相差が90度 に至ったものと考えられる。

本手法による等価回路の推定結果を表 1 に示す。結果では電力が最大値を示した時 刻は 0.339 秒であり、無限大母線の電圧は 0.909 60.352、リアクタンスは 0.498 と いう結果であった。潮流計算時に設定した 無限大母線の電圧は 1.0[p.u]、事故中の無 限大母線のリアクタンス合計は 0.578 であ るので、10%程度の誤差が生じている。し かし、算出された結果中の時刻が 0.317 秒 の点において電圧が 0.999 - 61.34、リア クタンスが 0.577 と極めて設定値に近い結 果を示す点を確認できた。この原因として は、電力位相差角曲線において発電機出力 が最大値を示す点が位相差角 90 度の点か らずれたためと推測される。.

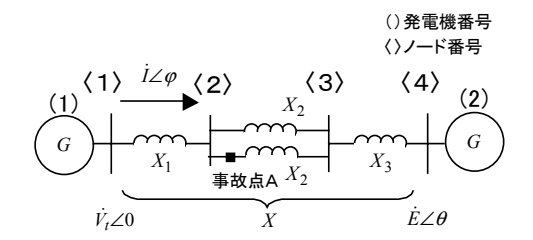
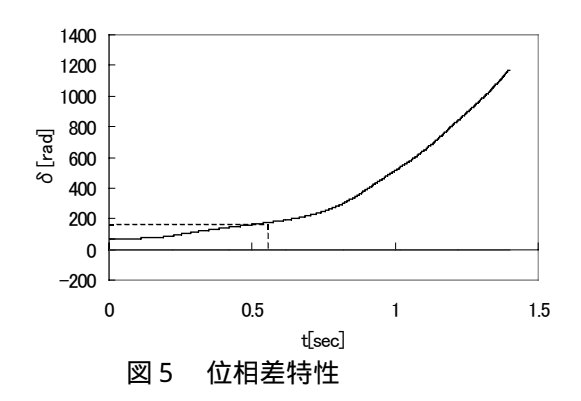


図4 シミュレーションモデル系統



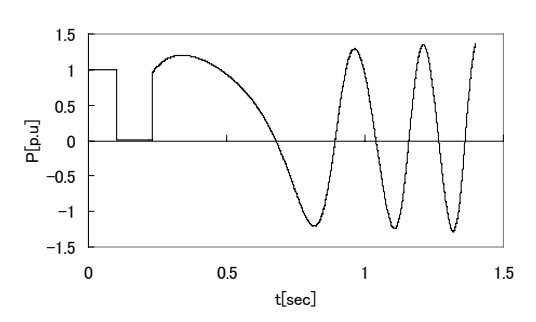


図6 1番発電機出力特性

表 1 無限大母線の計算結果

time	Р	Χ	Е	θ
0.316	1.194	0.581	1.003	-61.390
0.317	1.195	0.577	0.998	-61.337
0.318	1.196	0.573	0.994	-61.290
0.338	1.202	0.501	0.913	-60.392
0.339	1.202	0.498	0.909	-60.352
0.340	1.202	0.495	0.905	-60.312

#### 4 . 2 EAST10 による確認

本節ではモデル系統をより複雑にして本手法の有効性の確認を行う。用いるモデル系統は図7に示すEAST10モデル系統の等価回路を推定する。ブランチ11において1回線三相地絡事故を模擬する潮流計算を行い、その結果を用いて4.1節と同様にE、、Xを求めた。潮流計算より求めた発電機出力特性と本手法で推定したE、、Xの結果を表2に示す。これより発電機出力が最大値を示す点でのXの値を見るとの.038となっている。この値はブランチ1およびブランチ11のリアクタンスの和よりも小さく、間違いであると推測される。

そこで、今回の推定によって本来ならば どのくらいのXの値が得られるはずだった のかを一機無限大母線で、Xの値を漸次変 えながら潮流計算を行い、その発電機出力 特性が、図8のEAST10を用いて潮流計 算を行った結果の電力特性と波形が近くな るようにして、Xの値を求めた。その値は 0.125 であり、求めた電力特性を比較した 波形を図9に示す。この値を見てからも分 かるように今回の本手法で求めたXの値は 非常に小さく適当な値でなかったと言える。 今回の等価回路の推定において誤差を小さ くし、より精度の高い等価回路を求めるこ とが今後の課題である。

# 5.あとがき

本稿では、一機無限大母線系統、EAS T10 モデル系統と等価回路の推定を行ってきた。結果はそれぞれ誤差を含んでおり、 その原因もまだ解明できていない。早急にこの原因を突き止めることが今後の課題である。また、今回の推定法には線路の抵抗分および対地静電容量含んでいない。そちらの件に関してもあわせて検討を進める。

#### 参考文献

(1)加戸他:産業用電力系統のトラブルと解析

(2)小向他:電力システム工学,コロナ社

(3)長谷川他:電力系統工学,オーム社

(4)電力系統モデル標準化調査専門委員会:

「電力系統の標準モデル」, 電機学会技術報告,第754号(1999-11)

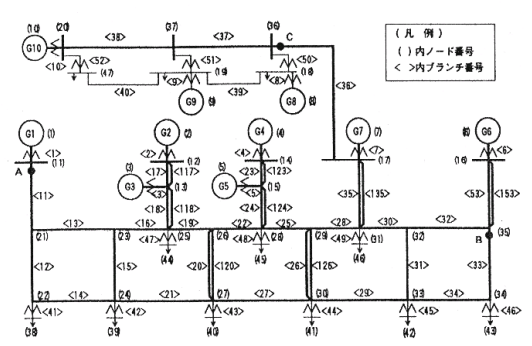


図 7 EAST10 モデル系統

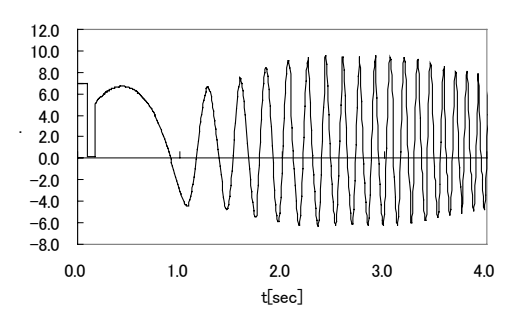


図8 1番発電機出力特性(EAST10)

表 2 EAST10 計算結果

				_
time	Р	Х	E	$\theta$
0.430	6.716	0.035	1.111	-11.856
0.440	6.718	0.038	1.110	-12.847
0.450	6.714	0.040	1.108	-13.845
0.800	3.067	0.122	0.530	-60.923
0.810	2.833	0.125	0.493	-63.126
0.820	2.589	0.127	0.454	-65.419

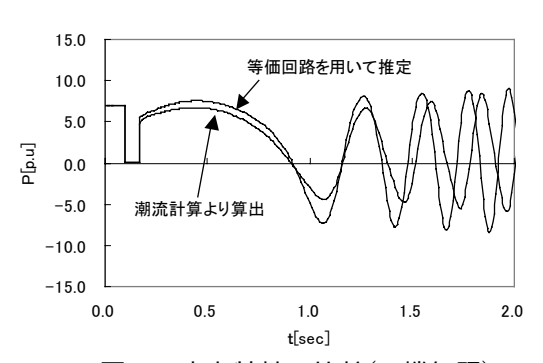


図9 出力特性の比較(一機無限)